

## РАВНОВЕСИЕ ОРТОТРОПНОЙ ПЛАСТИНЫ, ОСЛАБЛЕННОЙ ДВУМЯ ПОЛУБЕСКОНЕЧНЫМИ ПРЯМОЛИНЕЙНЫМИ РАЗРЕЗАМИ

Предложен аналитический метод решения краевых задач теории упругости для тонкой ортотропной пластины, ослабленной двумя полубесконечными прямолинейными разрезами (трещинами) на оси анизотропии. Он основан на возможности представления общих решений уравнений равновесия через две функции напряжений, каждая из которых является гармонической в своей эллиптической системе координат.

Объектами особого внимания являются вершины трещин (разрезов) – места возникновения наибольшей концентрации напряжений и исходные точки дальнейшего развития трещин. При этом наиболее важными параметрами являются коэффициенты интенсивности напряжений, знание которых позволяет изучить поведение тела с трещинами, в частности сформулировать критерий локального разрушения материала [1].

Исследование соответствующих краевых задач непосредственно связано с математической проблемой расчета ответственных элементов конструкций, широко применяемых в авиа- и ракетостроении, кораблестроении и т.д.

Начала реализуемого здесь подхода заложены в работах [2, 3], в которых получены новые общие решения уравнений равновесия двумерных (плоских) задач теории упругости для ортотропных тел, ограниченных координатными линиями декартовой, параболической и эллиптической систем координат.

Пусть  $\delta_1, \delta_2$  ( $\delta_j > 0$ ) – безразмерные величины, определяемые формулами

$$\delta_1^2 + \delta_2^2 = \omega = \frac{E_1}{G_{12}} - 2\nu_{12}, \quad \delta_1^2 \delta_2^2 = \gamma = \frac{E_1}{E_2} \quad (\omega > 0, \omega^2 - 4\gamma \geq 0),$$

где  $E_1 = E_x$ ,  $E_2 = E_y$  – модули упругости материала на растяжение (сжатие) в направлении осей  $x$  и  $y$ ;  $G_{12} = G_{xy}$  – модуль сдвига в плоскости  $Oxy$ ;  $\nu_{12} = \nu_{xy}$ ,  $\nu_{21} = \nu_{yx}$  ( $E_1 \nu_{21} = E_2 \nu_{12}$ ) – коэффициенты Пуассона.

Частные решения двумерных уравнений равновесия ортотропных в осях  $x$  и  $y$  пластин можно представить в виде [2, 3]

$$\tau_{xy}^{(j)} = -\frac{a}{\delta_j} \frac{\partial l_j}{\partial y} = -a \frac{\partial l_j}{\partial y_j}, \quad \sigma_x^{(j)} = -a \delta_j \frac{\partial l_j}{\partial x}, \quad \sigma_y^{(j)} = \frac{a}{\delta_j} \frac{\partial l_j}{\partial x}; \quad (1)$$

$$u_x^{(j)} = -\frac{a(\delta_j^2 + \nu_{12})}{\delta_j E_1} I_j, \quad u_y^{(j)} = \frac{a\delta_j(\delta_{3-j}^2 + \nu_{12})}{E_1} \int \frac{\partial I_j}{\partial x} dy \quad (j=1, 2), \quad (2)$$

где  $I_j = I_j(x, y_j)$  – гармонические функции переменных  $x, y_j = \delta_j y$ ;  $a$  – параметр, определяемый выбором исходной криволинейной системы координат. При этом в формулах (2)  $I_j$  и  $\delta_j \int \frac{\partial I_j}{\partial x} dy$  – сопряженные гармонические функции.

Положим

$$\begin{aligned} \tau_{xy} &= \tau_{xy}^{(1)} + \tau_{xy}^{(2)}, \quad \sigma_x = \sigma_x^{(1)} + \sigma_x^{(2)}, \quad \sigma_y = \sigma_y^{(1)} + \sigma_y^{(2)}; \\ u_x &= u_x^{(1)} + u_x^{(2)}, \quad u_y = u_y^{(1)} + u_y^{(2)}. \end{aligned} \quad (3)$$

При  $\delta_1 \neq \delta_2$  ( $\omega^2 \neq 4\gamma$ ) представления (3) являются общими (функции  $I_j$  – линейно независимы). В случае  $\delta_1 = \delta_2 = \delta$  ( $\omega^2 = 4\gamma$ ) функции  $I_1, I_2$  образуют линейно зависимую систему и тогда надо либо построить решение уравнений равновесия, не выражающееся линейно через уже имеющееся решение (построенное с помощью гармонической функции  $I_1$ ), либо в исходной краевой задаче совершить предельный переход  $\delta_2 \rightarrow \delta_1 = \delta$ .

Общие решения (3) в сочетании с методом Фурье позволяют получить простые выражения для проекций вектора перемещений и вектора напряжений на гиперболах и берегах полубесконечных разрезов и тем самым точно удовлетворить граничным условиям основных краевых задач для ортотропных пластин с гиперболическими вырезами и полубесконечными разрезами на оси анизотропии.

Пусть  $\langle x, y \rangle, \langle \xi, \theta \rangle$  – исходные декартова и эллиптическая системы координат, связанные соотношениями

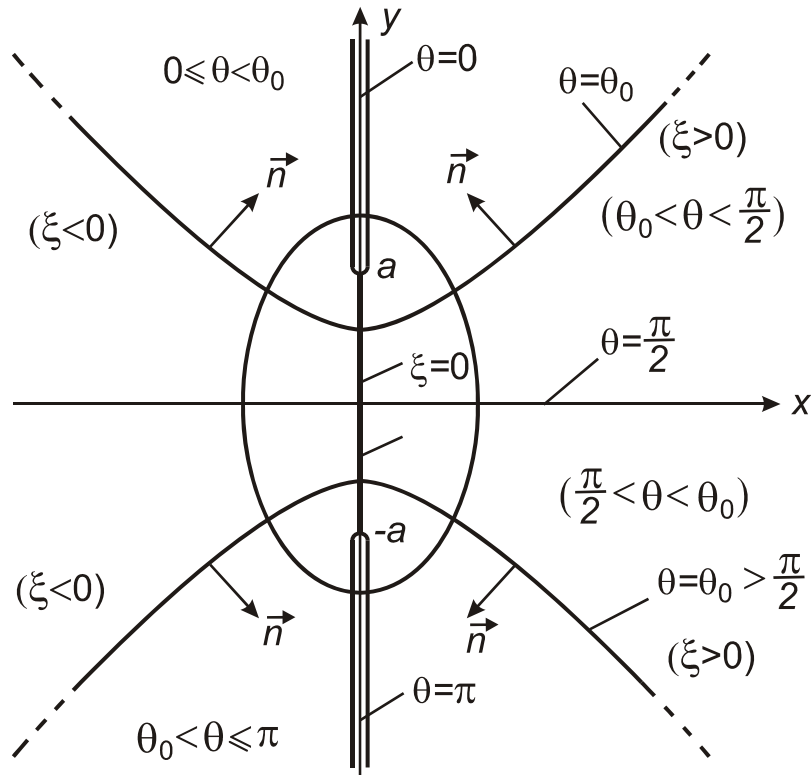
$$x = a \operatorname{sh} \xi \sin \theta, \quad y = a \operatorname{ch} \xi \cos \theta \quad (-\infty < \xi < \infty, 0 \leq \theta \leq \pi). \quad (4)$$

Уравнение  $\theta = \theta_0 = \text{const}$  определяет гиперболу (рис. 1)

$$\frac{y^2}{(a \cos \theta_0)^2} - \frac{x^2}{(a \sin \theta_0)^2} = 1. \quad (5)$$

При  $\delta_1 \neq \delta_2$  каждую из гармонических функций  $I_j$  ( $j=1, 2$ ) будем рассматривать как функцию эллиптических координат  $\xi_j, \theta_j$ , определяемых формулами

$$x_j = x = a_j \operatorname{sh} \xi_j \sin \theta_j, \quad y_j = \delta_j y = a_j \operatorname{ch} \xi_j \cos \theta_j \quad (-\infty < \xi_j < \infty, 0 \leq \theta_j \leq \pi). \quad (6)$$



Геометрия эллиптической системы координат

Уравнение  $\theta_j = \theta_{j0} = \text{const}$  ( $j=1, 2$ ) определяет гиперболу

$$\frac{y_j^2}{(a_j \cos \theta_{j0})^2} - \frac{x_j^2}{(a_j \sin \theta_{j0})^2} = \frac{\delta_j^2 y^2}{(a_j \cos \theta_{j0})^2} - \frac{x^2}{(a_j \sin \theta_{j0})^2} = 1, \quad (7)$$

совпадающую с исходной гиперболой (5) при условии, что

$$a_j \cos \theta_{j0} = \delta_j a \cos \theta_0, \quad a_j \sin \theta_{j0} = a \sin \theta_0 \quad (j=1, 2). \quad (8)$$

Тогда из соотношений (4), (6), (8) следует, что на границах  $\theta = \theta_0$ ,  $\theta_j = \theta_{j0}$  гиперболических областей  $0 \leq \theta < \theta_0$ ,  $0 \leq \theta_j < \theta_{j0}$ ;  $\theta_0 < \theta \leq \pi$ ,  $\theta_{j0} < \theta_j \leq \pi$  выполняются равенства

$$\xi_1 = \xi_2 = \xi. \quad (9)$$

Коэффициенты Ляме эллиптических систем координат  $\langle \xi, \theta \rangle$ ,  $\langle \xi_j, \theta_j \rangle$  имеют вид

$$H_\xi = H_\theta = ah, \quad h = \sqrt{ch^2 \xi - \cos^2 \theta}; \quad H_{\xi_j} = H_{\theta_j} = a_j h_j, \quad h_j = \sqrt{ch^2 \xi_j - \cos^2 \theta_j},$$

а направляющие косинусы единичных внешних нормалей

$\vec{n} = n_x \vec{e}_x + n_y \vec{e}_y$ ,  $\vec{n}_j = n_x^{(j)} \vec{e}_x + n_y^{(j)} \vec{e}_y$  к границам (5), (7) областей  $\theta_0 < \theta \leq \pi$ ,  $\theta_{j0} < \theta_j \leq \pi$ ,  $(0 < \theta_0, \theta_{j0} < \frac{\pi}{2})$ ;  $0 \leq \theta < \theta_0$ ,  $0 \leq \theta_j < \theta_{j0}$  ( $\frac{\pi}{2} < \theta_0, \theta_{j0} < \pi$ ) оп-

ределяются формулами

$$\begin{aligned}
 n_x &= -\frac{\text{sh}\xi \cos \theta_0}{h_0}, \quad n_y = \frac{\text{ch}\xi \sin \theta_0}{h_0} \quad \left(0 < \theta_0 < \frac{\pi}{2}\right); \\
 n_x &= \frac{\text{sh}\xi \cos \theta_0}{h_0}, \quad n_y = -\frac{\text{ch}\xi \sin \theta_0}{h_0} \quad \left(\frac{\pi}{2} < \theta_0 < \pi\right); \\
 n_x^{(j)} &= -\frac{\text{sh}\xi_j \cos \theta_{j0}}{\delta_j h_{j0}}, \quad n_y^{(j)} = \frac{\text{ch}\xi_j \sin \theta_{j0}}{h_{j0}} \quad \left(0 < \theta_{j0} < \frac{\pi}{2}\right); \\
 n_x^{(j)} &= \frac{\text{sh}\xi_j \cos \theta_{j0}}{\delta_j h_{j0}}, \quad n_y^{(j)} = -\frac{\text{ch}\xi_j \sin \theta_{j0}}{h_{j0}} \quad \left(\frac{\pi}{2} < \theta_{j0} < \pi\right);
 \end{aligned} \tag{10}$$

$$h_0 = \sqrt{\text{ch}^2 \xi - \cos^2 \theta_0}, \quad h_{j0} = \sqrt{\text{ch}^2 \xi_j \sin^2 \theta_{j0} + \text{sh}^2 \xi_j \left(\frac{\cos \theta_{j0}}{\delta_j}\right)^2}.$$

Из равенств (8), (9) следует, что на граничных линиях  $\theta = \theta_0$ ,  $\theta_j = \theta_{j0}$

$$a_1 h_{10} = a_2 h_{20} = a h_0, \quad n_x^{(j)} = n_x, \quad n_y^{(j)} = n_y. \tag{11}$$

Если на границе пластины задан вектор напряжений  $\vec{F} = F_x \vec{e}_x + F_y \vec{e}_y$ , то его проекции на оси декартовой системы координат выражаются формулами  $F_x = \sigma_x n_x + \tau_{xy} n_y$ ,  $F_y = \tau_{xy} n_x + \sigma_y n_y$ . Найдем проекции  $F_x^{(j)} = \sigma_x^{(j)} n_x^{(j)} + \tau_{xy}^{(j)} n_y^{(j)}$ ,  $F_y^{(j)} = \tau_{xy}^{(j)} n_x^{(j)} + \sigma_y^{(j)} n_y^{(j)}$  векторов напряжений  $\vec{F}_j = F_x^{(j)} \vec{e}_x + F_y^{(j)} \vec{e}_y$  на границах  $\theta_j = \theta_{j0}$ , соответствующие частным решениям (1). Используя равенства

$$\begin{aligned}
 \text{ch}^2 \xi_j \sin^2 \theta_j + \text{sh}^2 \xi_j \cos^2 \theta_j &= h_j^2; \\
 \frac{\partial \xi_j}{\partial x} = \frac{\partial \xi_j}{\partial x_j} = \frac{\text{ch}\xi_j \sin \theta_j}{a_j h_j^2}, \quad \frac{\partial \xi_j}{\partial y} = \delta_j \frac{\partial \xi_j}{\partial y_j} = \frac{\delta_j \text{sh}\xi_j \cos \theta_j}{a_j h_j^2}; \\
 \frac{\partial \theta_j}{\partial x} = \frac{\partial \theta_j}{\partial x_j} = \frac{\text{sh}\xi_j \cos \theta_j}{a_j h_j^2}, \quad \frac{\partial \theta_j}{\partial y} = \delta_j \frac{\partial \theta_j}{\partial y_j} = -\frac{\delta_j \text{ch}\xi_j \sin \theta_j}{a_j h_j^2};
 \end{aligned} \tag{12}$$

$$\frac{\partial l_j}{\partial x} = \frac{1}{a_j h_j^2} \left( \text{ch}\xi_j \sin \theta_j \frac{\partial l_j}{\partial \xi_j} + \text{sh}\xi_j \cos \theta_j \frac{\partial l_j}{\partial \theta_j} \right);$$

$$\frac{\partial l_j}{\partial y} = \frac{\delta_j}{a_j h_j^2} \left( \text{sh}\xi_j \cos \theta_j \frac{\partial l_j}{\partial \xi_j} - \text{ch}\xi_j \sin \theta_j \frac{\partial l_j}{\partial \theta_j} \right);$$

на основании (1), (8) - (11) получаем простые формулы

$$\begin{aligned}
 F_x^{(j)} \Big|_{\theta_j=\theta_{j0}} &= \frac{1}{h_0} \frac{\partial I_j}{\partial \theta_j} \Big|_{\theta_j=\theta_{j0}}, \quad F_y^{(j)} \Big|_{\theta_j=\theta_{j0}} = \frac{1}{\delta_j h_0} \frac{\partial I_j}{\partial \xi_j} \Big|_{\theta_j=\theta_{j0}} \quad \left(0 < \theta_0, \theta_{j0} < \frac{\pi}{2}\right); \\
 F_x^{(j)} \Big|_{\theta_j=\theta_{j0}} &= -\frac{1}{h_0} \frac{\partial I_j}{\partial \theta_j} \Big|_{\theta_j=\theta_{j0}}, \quad F_y^{(j)} \Big|_{\theta_j=\theta_{j0}} = -\frac{1}{\delta_j h_0} \frac{\partial I_j}{\partial \xi_j} \Big|_{\theta_j=\theta_{j0}} \quad \left(\frac{\pi}{2} < \theta_0, \theta_{j0} < \pi\right); \quad (13) \\
 F_x \Big|_{\theta=\theta_0} &= F_x^{(1)} \Big|_{\theta_1=\theta_{10}} + F_x^{(2)} \Big|_{\theta_2=\theta_{20}}, \quad F_y \Big|_{\theta=\theta_0} = F_y^{(1)} \Big|_{\theta_1=\theta_{10}} + F_y^{(2)} \Big|_{\theta_2=\theta_{20}}.
 \end{aligned}$$

В предельном случае, когда  $\theta_0=0$  ( $\theta_{j0}=0$ ), гиперболы  $\theta=\theta_0$ ,  $\theta_j=\theta_{j0}$  вырождаются в полубесконечный разрез  $x = \pm 0$ ,  $a \leq y < \infty$ , а в случае  $\theta_0=\pi$  ( $\theta_{j0}=\pi$ ) – в полубесконечный разрез  $x = \pm 0$ ,  $-\infty < y \leq -a$ , причем  $a_j = \delta_j a$ ,  $h_0 = |\operatorname{sh} \xi|$  на основании (8), (10).

В качестве приложения приведенных общих результатов рассмотрим первую основную краевую задачу для ортотропной пластины, ослабленной полубесконечными разрезами  $x = \pm 0$ ,  $a < y < \infty$  и  $x = \pm 0$ ,  $-\infty < y < -a$ . Ограничимся двумя конкретными случаями нагружения: а) к берегам разрезов в точках  $x = \pm 0$ ,  $y = \pm y_0$  ( $y = a \operatorname{ch} \xi$ ,  $y_0 = a \operatorname{ch} \xi_0$ ) приложены противоположно нормальные растягивающие силы  $P$ ; б) к берегам разрезов на участках  $x = \pm 0$ ,  $a < y < y_0$  ( $0 < |\xi| < |\xi_0|$ );  $x = \pm 0$ ,  $-y_0 < y < -a$  ( $0 < |\xi| < |\xi_0|$ ) приложены нормальные равномерно распределенные усилия интенсивности  $\sigma_0$ . Тогда в силу симметрии задачи по координатам  $x$ ,  $y$  достаточно удовлетворить граничным условиям

$$\begin{aligned}
 \text{а) } F_x \Big|_{\theta=0} &= P \delta(y - y_0), \quad F_y \Big|_{\theta=0} = 0 \quad (a < y < \infty, y = a \operatorname{ch} \xi, y_0 = a \operatorname{ch} \xi_0); \\
 \text{б) } F_x \Big|_{\theta=0} &= \begin{cases} \sigma_0 & (0 < \xi < \xi_0); \\ 0 & (\xi_0 < \xi < \infty); \end{cases} \quad F_y \Big|_{\theta=0} = 0 \quad (\sigma_0 > 0). \quad (14)
 \end{aligned}$$

Гармонические функции  $I_j$  ( $j=1, 2$ ), учитывающие симметрию задачи, имеют вид

$$I_j = \int_0^{\infty} A_j(\lambda) \operatorname{ch} \lambda \left( \frac{\pi}{2} - \theta_j \right) \sin \lambda \xi_j d\lambda. \quad (15)$$

Удовлетворяя теперь граничным условиям (14), с помощью гармо-

ических функций (15), равенств (9) и представлений (13) при  $\theta_0=0$ ,  $\theta_{j0}=0$  получаем следующие соотношения:

$$\frac{1}{\delta_1} A_1(\lambda) + \frac{1}{\delta_2} A_2(\lambda) = 0; \quad (16)$$

$$\text{а) } \lambda[A_1(\lambda) + A_2(\lambda)] = -\frac{2P \sin \lambda \xi_0}{\pi a \operatorname{sh} \frac{\pi \lambda}{2}}; \quad (17)$$

$$\text{б) } \lambda[A_1(\lambda) + A_2(\lambda)] = -\frac{2a\sigma_0}{\pi \operatorname{sh} \frac{\pi \lambda}{2}} \int_0^{\xi_0} \operatorname{sh} \xi \sin \lambda \xi d\xi.$$

Таким образом, плотности  $A_j(\lambda)$  интегралов (15) являются элементарными функциями.

Вычислим напряжения  $\sigma_x$ ,  $\sigma_y$  при  $\xi=0$  ( $x=0$ ,  $-a < y < a$ ). Используя для этого (1), (3), (12), (15) – (17) и равенства  $a_j = \delta_j a$ ;  $h_j^2 = \sin^2 \theta_j$  и  $\theta_j = \theta$  при  $\xi_j = 0$ ,  $\xi = 0$ , последовательно имеем

$$\begin{aligned} \sigma_x^{(j)} \Big|_{\xi_j=0} &= -a \delta_j \frac{\partial I_j}{\partial x} \Big|_{\xi_j=0} = -\frac{1}{\sin \theta_j} \frac{\partial I_j}{\partial \xi_j} \Big|_{\xi_j=0} = \\ &= -\frac{1}{\sin \theta} \int_0^\infty \lambda A_j(\lambda) \operatorname{ch} \lambda \left( \frac{\pi}{2} - \theta \right) d\lambda; \quad \sigma_y^{(j)} \Big|_{\xi_j=0} = -\frac{1}{\delta_j^2} \sigma_x^{(j)} \Big|_{\xi_j=0}; \\ \sigma_x \Big|_{\xi=0} &= \sigma_x^{(1)} \Big|_{\xi_1=0} + \sigma_x^{(2)} \Big|_{\xi_2=0}; \quad \sigma_y \Big|_{\xi=0} = \sigma_y^{(1)} \Big|_{\xi_1=0} + \sigma_y^{(2)} \Big|_{\xi_2=0}; \\ \left\{ \begin{aligned} \sigma_x \Big|_{\xi=0} &= -\frac{1}{\sin \theta} \int_0^\infty \lambda [A_1(\lambda) + A_2(\lambda)] \operatorname{ch} \lambda \left( \frac{\pi}{2} - \theta \right) d\lambda, \\ \sigma_y \Big|_{\xi=0} &= \frac{1}{\sin \theta} \int_0^\infty \lambda \left[ \frac{A_1(\lambda)}{\delta_1^2} + \frac{A_2(\lambda)}{\delta_2^2} \right] \operatorname{ch} \lambda \left( \frac{\pi}{2} - \theta \right) d\lambda; \end{aligned} \right. \\ \sigma_x \Big|_{\xi=0} &= \frac{2P}{\pi a \sin \theta} \int_0^\infty \frac{\operatorname{ch} \lambda (\pi/2 - \theta)}{\operatorname{sh} (\pi \lambda / 2)} \sin \lambda \xi_0 d\lambda \quad (\text{вариант а));} \\ \sigma_x \Big|_{\xi=0} &= \frac{2\sigma_0}{\pi \sin \theta} \int_0^{\xi_0} \operatorname{sh} \xi d\xi \int_0^\infty \frac{\sin \lambda \xi}{\operatorname{sh} \frac{\pi \lambda}{2}} \operatorname{ch} \lambda \left( \frac{\pi}{2} - \theta \right) d\lambda \quad (\text{вариант б)).} \end{aligned}$$

Значение интеграла [4]

$$\int_0^{\infty} \frac{\operatorname{ch} ax}{\operatorname{sh} cx} \sin bx dx = \frac{\pi \operatorname{sh} \frac{b\pi}{c}}{2c \left( \operatorname{ch} \frac{b\pi}{c} + \cos \frac{a\pi}{c} \right)}$$

при  $a = \frac{\pi}{2} - \theta$ ,  $b = \xi_0$ ,  $b = \xi$ ,  $c = \frac{\pi}{2}$  позволяет напряжения  $\sigma_x|_{\xi=0}$ ,  $\sigma_y|_{\xi=0}$  вычислить в элементарных функциях:

$$\text{а) } \sigma_x|_{\xi=0} = \frac{2P \operatorname{sh} 2\xi_0}{\pi a (\operatorname{ch} 2\xi_0 - \cos 2\theta) \sin \theta}, \quad \sigma_y|_{\xi=0} = \frac{1}{\delta_1 \delta_2} \sigma_x|_{\xi=0}; \quad (18)$$

$$\text{б) } \sigma_x|_{\xi=0} = \frac{2\sigma_0}{\pi} \left( \frac{\operatorname{sh} \xi_0}{\sin \theta} - \operatorname{arctg} \frac{\operatorname{sh} \xi_0}{\sin \theta} \right), \quad \sigma_y|_{\xi=0} = \frac{1}{\delta_1 \delta_2} \sigma_x|_{\xi=0}.$$

Поскольку  $\delta_1 \delta_2 = \sqrt{\frac{E_1}{E_2}}$ ;  $y = a \operatorname{ch} \xi$ ,  $y_0 = a \operatorname{ch} \xi_0$  при  $\theta = 0$ ;  $y = a \cos \theta$

при  $\xi = 0$ , то напряжения (18) в декартовых координатах имеют вид

$$\text{а) } \sigma_x|_{\xi=0} = \frac{2Py_0 \sqrt{y_0^2 - a^2}}{\pi (y_0^2 - y^2) \sqrt{a^2 - y^2}}, \quad \sigma_y|_{\xi=0} = \sqrt{\frac{E_2}{E_1}} \sigma_x|_{\xi=0};$$

$$\text{б) } \sigma_x|_{\xi=0} = \frac{2\sigma_0}{\pi} \left( \sqrt{\frac{y_0^2 - a^2}{a^2 - y^2}} - \operatorname{arctg} \sqrt{\frac{y_0^2 - a^2}{a^2 - y^2}} \right), \quad \sigma_y|_{\xi=0} = \sqrt{\frac{E_2}{E_1}} \sigma_x|_{\xi=0}.$$

При этом коэффициенты интенсивности нормальных напряжений

$$\text{а) } K_I = \lim_{y \rightarrow a} \left[ \sigma_x|_{\xi=0} \sqrt{2(a-y)} \right] = \frac{2Py_0}{\pi \sqrt{a} \sqrt{y_0^2 - a^2}};$$

$$\text{б) } K_I = \lim_{y \rightarrow a} \left[ \sigma_x|_{\xi=0} \sqrt{2(a-y)} \right] = \frac{2\sigma_0}{\pi \sqrt{a}} \sqrt{y_0^2 - a^2}.$$

В заключение отметим, что представления (13), (15) позволяют получить решения симметричных по координатам  $X, Y$  основных краевых задач для ортотропной пластины, ослабленной двумя соосными гиперболическими вырезами  $0 \leq \theta < \theta_0$  и  $\pi - \theta_0 < \theta \leq \pi$ .

## Список использованных источников

1. Сиратори, М. Вычислительная механика разрушения [Текст] / М. Сиратори, Т. Миёси, Х. Мацусита. – М.: Мир, 1986. – 334 с.
2. Соловьев, А.И. Краевые задачи теории упругости для ортотропных пластин, ограниченных координатными линиями декартовой и параболической систем координат [Текст] / А.И. Соловьев // Вопросы проектирования и производства конструкций летательных аппаратов: сб. науч. тр. Нац. аэрокосм. ун-та им. Н.Е. Жуковского “ХАИ”. – Вып. 2 (70). – Х., 2012. – С. 117 – 127.
3. Соловьев, А.И. О совместном применении декартовых и эллиптических координат к решению краевых задач теории упругости для ортотропных пластин [Текст] / А.И. Соловьев, А.В. Головченко // Открытые информационные и компьютерные технологии: сб. науч. тр. Нац. аэрокосм. ун-та им. Н.Е. Жуковского “ХАИ”. – Вып. 53. – Х., 2012. – С. 101 – 110.
4. Прудников, А.П. Интегралы и ряды [Текст] / А.П. Прудников, Ю.А. Брычков, О.И. Маричев. – М.: Наука, 1981. – 800 с.

*Поступила в редакцию 16.11.2012.*

*Рецензент: д-р физ.-мат. наук, проф. В.С. Проценко,  
Национальный аэрокосмический университет  
им. Н.Е. Жуковского «ХАИ», г. Харьков.*